

کمی‌سازی تغییرات متابولیت تریگونلین در گیاهچه‌های شبیله (تحت القای کیتوزان و تنش خشکی) (*Trigonella foenum-graecum L.*)

پریا احمدی^۱، حسنعلی نقدی‌بادی^۲، محمدرضا لبافی حسین‌آبادی^{*}

۱- دانش آموخته کارشناسی ارشد گیاهان دارویی، گروه باغبانی، دانشکده کشاورزی، دانشگاه آزاد اسلامی واحد کرج، کرج، ایران

۲- مرکز تحقیقات گیاهان دارویی، پژوهشکده گیاهان دارویی جهاددانشگاهی، کرج، ایران

* آدرس مکاتبه: کرج، پژوهشکده گیاهان دارویی جهاددانشگاهی، صندوق پستی: ۳۱۳۷۵-۱۳۶۹

تلفن: ۰۲۶ ۳۴۷۶۴۰۲۱ - ۰۲۶ ۳۴۷۶۴۰۲۱

پست الکترونیک: Mohammad1700@yahoo.com

تاریخ تصویب: ۹۶/۴/۳

تاریخ دریافت: ۹۶/۲/۲۳

چکیده

مقدمه: القای محرك‌های زیستی و غیرزیستی یکی از راهکارهایی است که با آن می‌توان سبب تغییرات کمی و کیفی متابولیت‌های دارویی جوانه‌های گیاهان دارویی شد.

هدف: هدف از انجام این آزمایش بررسی اثر محرك زیستی کیتوزان بر میزان تریگونلین جوانه‌های گیاه شبیله تحت شرایط تنش خشکی می‌باشد.

روش بررسی: این تحقیق در سه آزمایش جداگانه (جوانه‌های چهار، هشت و دوازده روزه) به صورت فاکتوریل در قالب طرح کاملاً تصادفی با ۱۵ تیمار در سه تکرار انجام شد. تیمارها شامل: کیتوزان در پنج سطح (۰/۱، ۰/۲، ۰/۵ و ۰/۴ درصد) و تنش خشکی در سه سطح (شاهد (عدم تنش)، ۰/۲ و ۰/۴- مگاپاسکال) بود.

نتایج: نتایج تجزیه واریانس نشان داد که کیتوزان، تنش خشکی و اثر متقابل کیتوزان و تنش خشکی بر میزان تریگونلین جوانه‌های چهار، هشت و دوازده روزه اثر معنی‌داری داشت. جوانه‌های مسن‌تر دارای میزان تریگونلین کمتری بودند به طوری که بیشترین میزان آن در جوانه‌های روز چهارم مشاهده شد.

نتجه‌گیری: اگرچه با افزایش سن گیاهچه‌ها، میزان تریگونلین کاهش یافت ولی با اعمال تنش خشکی و مصرف مقدار بهینه کیتوزان (۰/۲ درصد) سبب کاهش روند نزولی تریگونلین با افزایش سن گیاهچه‌ها شد.

کل واژگان: شبیله، تریگونلین، تنش خشکی، کیتوزان، مدلسازی



مقدمه

استقرار گیاهچه را به تأخیر می‌اندازد [۱۳]. در مورد گیاهان دارویی، خشکی ممکن است اثر معنی داری بر کمیت و کیفیت برخی از متابولیت‌ها و ترکیب‌ها داشته باشد [۱۴]. در همین راستا، محمدی (۱۳۹۰) گزارش نمود که تنش خشکی، محرك‌های زیستی و برهمنکنش آنها بر میزان تریگونلین در گیاه شنبلیله تأثیر معنی داری داشته است [۱۵].

یکی از راهکارهای کاهش خسارت تنش خشکی که اخیراً توجه محققین به آن معطوف شده است استفاده از بیوپلیمر کیتوزان می‌باشد. کیتوزان یک ماده غیرسمی، بیوپلیمر آلی و طبیعی، قابل تجزیه و زیستی است که از دی‌استیله کردن کیتین مشتق شده است [۱۶]. اثر تحریک‌کنندگی کیتوزان بر جوانه‌زنی و رشد گیاهچه‌های گندم [۱۷]، ذرت [۱۸] و بادام زمینی [۱۹] مشخص شده است. همچنین مطالعات متعددی نشان داده که رشد گیاهان مختلف از قبیل کلم [۲۰]، جوانه‌های سویا [۲۱] و ریحان [۲۲] را تحریک می‌کند.

با توجه به این که جوانه گیاهان به عنوان یک منبع ارزشمند، ارزان و نسبتاً جدید از محصولات غذایی هستند، بررسی تأثیر مواد فعال زیستی روی جوانه‌زنی و ارزش غذایی و دارویی جوانه‌های گیاهان ضروری به نظر می‌رسد. هدف از این مطالعه، بررسی اثر محرك زیستی کیتوزان بر میزان تریگونلین جوانه‌های گیاه شنبلیله تحت تنش خشکی می‌باشد.

مواد و روش‌ها

این تحقیق در سه آزمایش جداگانه به صورت فاکتوریل در قالب طرح کاملاً تصادفی با سه تکرار به اجرا درآمد. در آزمایش‌های اول، دوم و سوم به ترتیب جوانه‌های شنبلیله در روزهای چهارم، هشتم و دوازدهم مورد ارزیابی قرار گرفتند. در هریک از این سه آزمایش، فاکتور اول: غلطنهای مختلف محرك کیتوزان در پنج سطح (۰، ۰/۰۵، ۰/۱، ۰/۲ و ۰/۴ درصد حجمی) و فاکتور دوم: تنش خشکی توسط پلی‌اتیلن‌گلکول ۸۰۰۰ (PEG 8000) در سه سطح (۰، ۰-۰/۴ و -۰/۲ مگاپاسکال) اعمال شد.

به منظور القای تنش خشکی، محلول آبی با پتانسیل اسمزی ۰، -۰/۲ و -۰/۴- مگاپاسکال توسط پلی‌اتیلن گلایکول ۸۰۰۰ در

شنبلیله در طب سنتی ایران کاربردهای زیادی دارد [۱] و برگ آن جهت تسکین سرفهای سرد، ورم طحال و کبد، درد کمر و برودت مثانه و بذر آن ملین و نرم کننده موضعی و ضدالتهاب و تسکین‌دهنده درد مفاصل می‌باشد و دمکرده آن با عسل برای تنگی نفس و ورم‌های داخلی توصیه شده است [۲]. دانه آن، دارای آکالالوئیدی به نام تریگونلین، ترکیب‌های موسیلاژی، پروتئین و روغن می‌باشد [۳]. تریگونلین متابولیت اصلی شنبلیله، آکالالوئیدی است که دارای نقش هورمونی در گیاهان می‌باشد و از طریق متیلاسیون اسیدنیکوتینیک در گیاه ساخته می‌شود. این آکالالوئید دارای خواص دارویی مهم نظیر ضدسرطان، ضدمیگرن، ضداغفونی کنندگی، پایین‌آورنده چربی خون و ضددیابت می‌باشد. همچنین تریگونلین در گیاهان نقش‌های متعددی دارد و در مکانیسم بسته شدن برگ‌ها در شب برای برخی از گیاهان (شب خسب)، در پاسخ به تنش‌های اکسیداتیو، تنظیم فشار اسمزی در واکنش به تنش خشکی و شوری، تنظیم توقف چرخه سلولی گیاه در مرحله G₂ و بیان ژن‌های محرك تولید گره در ریشه لگوم‌ها طی فرآیند کلون‌سازی نقش بسیار مهمی را ایفا می‌کند [۵].

بذرها و جوانه‌های خوراکی گیاهان یک منبع خوب از آنتی‌اکسیدان‌ها از جمله اسیدهای فنولی، فلاونوئیدها، عناصر کمیاب و ویتامین‌ها هستند [۶]. جوانه‌زنی بذرهای خوراکی برای تولید جوانه، مقدار ارزش غذایی آن را افزایش می‌دهد [۷-۹]. مطالعات متعددی افزایش مواد مغذی و کاهش محتويات مواد غیر مغذی در جوانه‌ها را در مقایسه با بذرهای جوانه نزده گزارش کرده‌اند [۹-۱۱].

جوانه‌زنی موجب تغییرات معنی داری در ترکیبات فنولی می‌شود که عمدتاً به دلیل فعال شدن آنزیم‌های درونی و متابولیسم بیوشیمیابی پیچیده بذر در طی این فرآیند است [۷]. مقدار و ترکیب مواد فعال زیستی در جوانه بستگی به عوامل بسیاری، به عنوان مثال شرایط محیط رشد، شرایط ذخیره‌سازی جوانه، سطح بلوغ و همچنین ژنتیک آن دارد [۱۲]. تنش آبی مهم‌ترین عامل محدودکننده برای جوانه‌زنی بذور می‌باشد زیرا خشکی، سرعت و درصد جوانه‌زنی را کاهش داده و درنهایت



اسپکتروفوتومتری فرابنفش (UV)، یک گرم پودر نمونه با یک گرم اکسید منیزیم و ۵۰ میلی لیتر آب مخلوط شده و به مدت ۲۰ دقیقه در بین ماری در دمای ۱۰۰ درجه سانتی گراد گذاشته شد. محلول فوق با اضافه کردن آب مقطر به حجم ۲۵ میلی لیتر رسانده شد و اجازه داده شد تا رسوبات تهشیش شود. سپس با کاغذ واتمن (شماره ۴) نمونه‌ها در بالهای ۲۶۸ میلی لیتری صاف شد. جذب محلول در طول موج ۲۶۸ نانومتر (ماکریم طول موج برای تریگونلین) در دستگاه اسپکتروفوتومتر UV خوانده شدند [۲۳].

روش آنالیز داده‌ها

تجزیه واریانس داده‌ها با استفاده از نرم‌افزار SAS 9.1 انجام شد. در صورتی که اثر متقابل کیتوزان و تنفس خشکی معنی‌دار شد از رویه Lsmeans برای ارزیابی اثر متقابل استفاده شد. برآشش مدل‌ها (جدول شماره ۱) با استفاده از نرم‌افزار سیگما پلات Sigma Plot 11.0 انجام شد.

آب دیونیزه شده (آب مقطر) ساخته شدند. بدین صورت که محلول‌ها شامل غلظت‌های مشخصی از پلی‌اتیلن‌گلیکول (با پتانسیل‌های ۰، ۰/۲ و ۰/۴ - مکاپاسکال) همراه با درصدهای مشخص شده از غلظت کیتوزان در پنج سطح (۰، ۰/۱، ۰/۲، ۰/۵ و ۰/۰ درصد حجمی) بود. میزان پلی‌اتیلن‌گلیکول مصرفی از جدول استاندارد بین‌المللی تهیه شد. انتخاب میزان پلی‌اتیلن‌گلیکول مصرفی به دو پارامتر وابسته است که به ترتیب عبارتند از: میزان پتانسیل اسمزی مورد نظر و همچنین دما.

بذور شبیله با کد SB-MPI-925 از پژوهشکده گیاهان دارویی تهیه شد. تمامی بذور قبل از انجام آزمایش با محلول هیپوکلریت ۳ درصد به مدت پنج دقیقه ضدغوفونی و سپس به مدت ۱۰ دقیقه با آب مقطر شستشو داده شدند. ۵۰ عدد بذر از هر گونه روی کاغذ صافی واتمن در پتربی دیش‌های ضدغوفونی شده کشت و در داخل ژرمیناتور در دمای ۲۵ درجه سانتی گراد با تنظیم روشنایی ۱۶ ساعت و تاریکی ۸ ساعت قرار داده شدند.

اندازه‌گیری میزان تریگونلین

برای تعیین و ارزیابی مقدار آلکالوئید تریگونلین به روش

جدول شماره ۱ - توابع مورد استفاده در سیگماپلات

توابع	فرمول‌ها
Polynomial, Quadratic	$f = y0 + a^*x + b^*x^2$
Polynomial, Cubic	$f = y0 + a^*x + b^*x^2 + c^*x^3$
Polynomial, Inverse Second Order	$f = y0 + (a/x) + (b/x^2)$
Polynomial, Inverse third Order	$f = y0 + (a/x) + (b/x^2) + (c/x^3)$
Sigmoidal, Sigmoid, 3 Parameter	$f = a/(1 + \exp(-(x-x0)/b))$
Sigmoidal, Logistic, 3 Parameter	$f = \text{if}(x <= 0, \text{if}(b < 0, 0, a), \text{if}(b > 0, a/(1 + \text{abs}(x/x0)^b), a^*\text{abs}((x/x0))^\text{abs}(b)/(1 + (\text{abs}(x/x0))^\text{abs}(b))))$
Sigmoidal, Gompertz, 3 Parameter	$f = a^*\exp(-\exp(-(x-x0)/b))$
Sigmoidal, Hill, 3 Parameter	$f = a^*x^b/(c^b + x^b)$
Exponential Decay, Single, 2 Parameter	$f = a^*(1 - \exp(-b^*x))^c$
Exponential Decay, Exponential Linear Combination	$f = a^*\exp(-b^*x)$
Peak, Gaussian, 3 Parameter	$f = a^*\exp(-0.5^*((x-x0)/b)^2)$
Peak, Gaussian, 4 Parameter	$f = y0 + a^*\exp(-0.5^*((x-x0)/b)^2)$
Peak, Modified Gaussian, 5 Parameter	$f = y0 + a^*\exp(-0.5^*\text{abs}((x-x0)/b)^c)$
Peak, Lorentzian, 4 Parameter	$f = y0 + a/(1 + ((x-x0)/b)^2)$
Peak, Pseudo-Voigt, 5 Parameter	$f = y0 + a^*(c^*(1/(1 + ((x-x0)/b)^2)) + (1-c)^*\exp(-0.5^*((x-x0)/b)^2))$
Peak, Log Normal, 4 Parameter	$f = \text{if}(x <= 0, y0, y0 + a^*\exp(-0.5^*(\ln(x/x0)/b)^2)/x)$



نتایج

میزان تریگونولین جوانه‌های چهار روزه

به طوری که بیشترین میزان تریگونولین، در غلظت ۰/۲۴ درصد کیتوزان مشاهده شد (شکل شماره ۳).

میزان تریگونولین جوانه هشت روزه شبیله

تجزیه واریانس میزان تریگونولین جوانه هشت روزه شبیله نشان داد که اثر کیتوزان، تنش خشکی و اثر متقابل کیتوزان و تنش خشکی در سطح یک درصد بر صفت فوق معنی دار بود (جدول شماره ۲). برش دهی اثر متقابل نشان داد که در هر دو سطح تیمار خشکی، ۰/۲ - و ۰/۴ - مگاپاسکال، غلظت‌های مختلف کیتوزان تأثیر متفاوتی بر تریگونولین جوانه‌های شبیله گذاشته‌اند (جدول شماره ۳).

تجزیه رگرسیون میزان تریگونولین جوانه هشت روزه شبیله و تیمار تنش خشکی ۰/۲ - مگاپاسکال نشان داد که اثر غلظت‌های مختلف کیتوزان با معادله گوسن چهار پارامتری قابل توصیف است و بیشترین میزان تریگونولین، در غلظت ۰/۱ درصد کیتوزان مشاهده شد (شکل شماره ۴).

در تیمار تنش خشکی ۰/۴ - مگاپاسکال، غلظت‌های مختلف کیتوزان با معادله درجه دو بهترین برآش را نشان داد و بیشترین میزان تریگونولین، در غلظت ۰/۲ درصد کیتوزان مشاهده شد (شکل شماره ۵).

تجزیه واریانس داده‌ها نشان داد که اثر کیتوزان و تنش خشکی در سطح یک درصد و اثر متقابل تنش خشکی و کیتوزان در سطح پنج درصد روی میزان تریگونولین جوانه‌های چهار روزه معنی‌دار بود (جدول شماره ۲). برش دهی اثر متقابل مشخص نمود که در هر سه سطح تیمار خشکی، غلظت‌های مختلف کیتوزان تأثیر متفاوتی بر تریگونولین گیاهچه‌های شبیله داشته است (جدول شماره ۳). تجزیه رگرسیون میزان تریگونولین در جوانه‌های روز چهارم و بدون تنش خشکی نشان داد که غلظت‌های مختلف کیتوزان با معادله درجه دو قابل توصیف است و بیشترین میزان تریگونولین در غلظت ۰/۲۱ درصد کیتوزان مشاهده شد (شکل شماره ۱).

در تیمار تنش خشکی ۰/۲ - مگاپاسکال، غلظت‌های مختلف کیتوزان با معادله گوسن سه پارامتری بهترین تطابق را نشان داد به طوری که بیشترین میزان تریگونولین، در غلظت ۰/۲۵ درصد کیتوزان مشاهده شد (شکل شماره ۲).

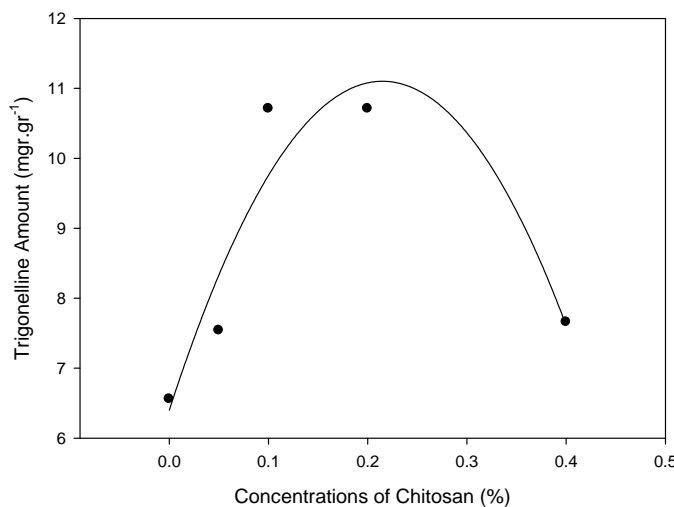
در تیمار تنش خشکی ۰/۴ - مگاپاسکال، غلظت‌های مختلف کیتوزان با معادله لرنزین سه پارامتری بهترین برآش را نشان داد

جدول شماره ۲- تجزیه واریانس اثر کیتوزان، تنش خشکی و برش دهی اثر متقابل کیتوزان و تنش خشکی بر میزان تریگونولین شبیله

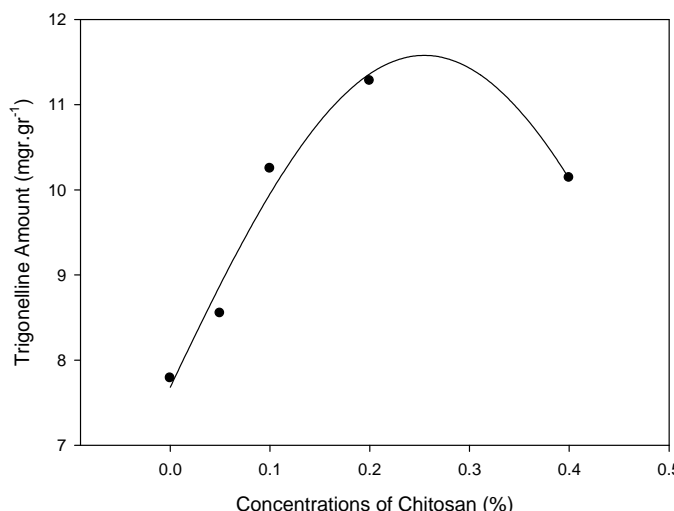
مجموع مربعات			منابع تغییر	درجه آزادی
میزان تریگونولین				
جوانه ۱۲ روزه	جوانه ۸ روزه	جوانه ۴ روزه		
۱۳/۷۹ **	۲۷/۳۸ **	۲۴/۵۵۵ **	کیتوزان	۴
۹/۰۶ **	۳۳/۳۲ **	۹/۲۱۳ **	تش خشکی	۲
۳/۰۴ **	۷/۴۹ **	۱/۱۹۱ *	کیتوزان × تنش خشکی	۸
۰/۵۷	۱/۹۸	۴/۲۴۴	خطا	۳۰
۳۵/۴۶	۹/۹۲	۱۷/۵۸	ضریب تغییرات	-

جدول شماره ۳- برش دهی اثر متقابل سطوح غلظت کیتوزان برای هر سطح تنش خشکی

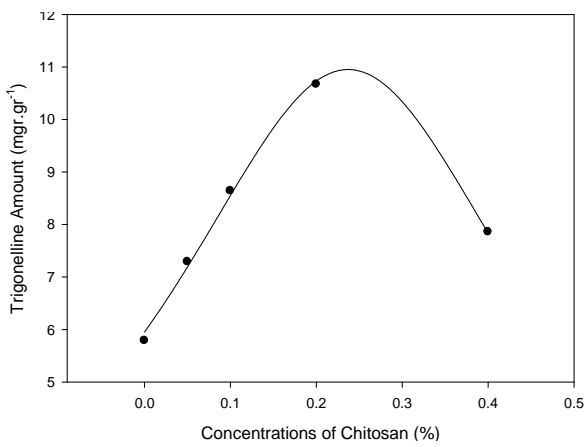
مجموع مربعات			درجه آزادی	منابع تغییر
میزان تریگونلین				
جوانه ۱۲ روزه	جوانه ۸ روزه	جوانه ۴ روزه		
۴/۵۴ **	۱/۳۹ ns	۱۱/۲۹ **	۴	عدم تنش خشکی
۷/۲۵ **	۱۷/۹۶ **	۵/۹۳ **	۴	تش خشکی (۰/۲ مگاپاسگال)
۹/۰۸ **	۲۳/۰۲ **	۹/۷ **	۴	تش خشکی (۰/۴ مگاپاسگال)



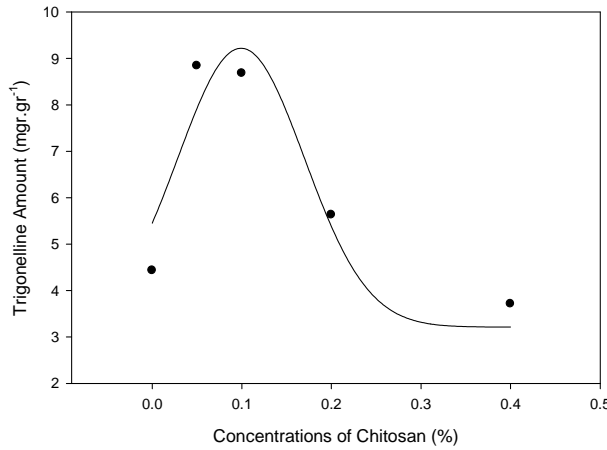
شکل شماره ۱- روند تغییر میزان تریگونلین جوانه چهار روزه شبیله در شرایط عدم خشکی تحت تأثیر تیمار کیتوزان



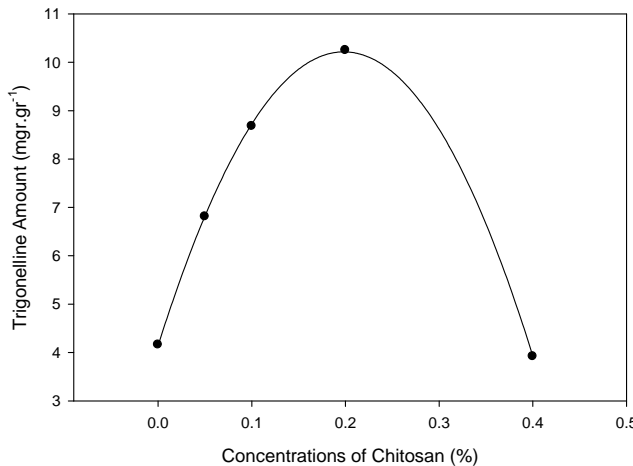
شکل شماره ۲- روند تغییر میزان تریگونلین جوانه چهار روزه شبیله در شرایط تنش خشکی -۰/۲ مگاپاسگال تحت تأثیر تیمار کیتوزان



شکل شماره ۳- روند تغییر میزان تریگونلین جوانه چهار روزه شبیله در شرایط تنش خشکی ۰/۴ - مگاپاسکال تحت تأثیر تیمار کیتوزان



شکل شماره ۴- روند تغییر میزان تریگونلین جوانه هشت روزه شبیله در شرایط تنش خشکی ۰/۲ - مگاپاسکال تحت تأثیر تیمار کیتوزان



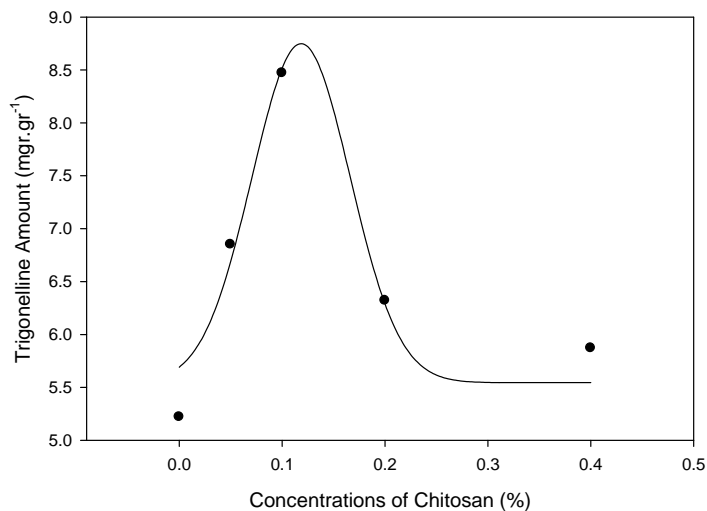
شکل شماره ۵- روند تغییر میزان تریگونلین جوانه هشت روزه شبیله در شرایط تنش خشکی ۰/۴ - مگاپاسکال تحت تأثیر تیمار کیتوزان



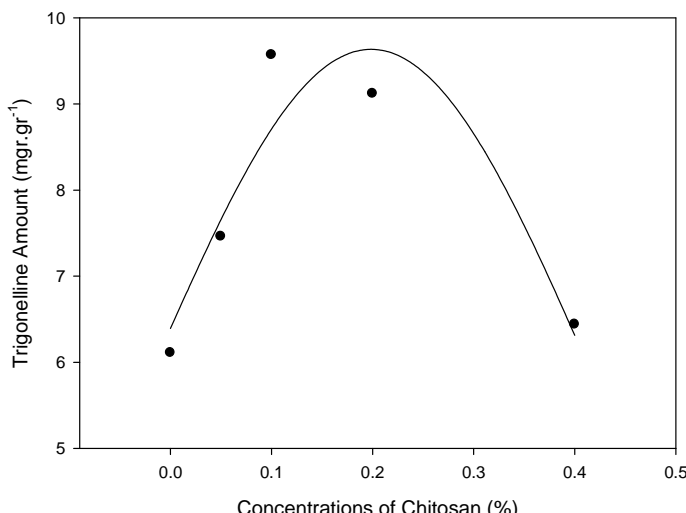
تریگونلین، در غلظت $0/12\%$ درصد کیتوزان مشاهده شد (شکل شماره ۶).

در تیمار تنش خشکی $0/2\text{-مگاپاسکال}$ ، غلظت‌های مختلف کیتوزان با معادله گوسن سه پارامتری بهترین تطابق را نشان داد به طوری که بیشترین میزان تریگونلین، در غلظت $0/2\%$ درصد کیتوزان مشاهده شد (شکل شماره ۷).

در تیمار تنش خشکی $0/4\text{-مگاپاسکال}$ ، غلظت‌های مختلف کیتوزان با معادله گوسن سه پارامتری بهترین برآذش را نشان داد به طوری که با انجام محاسبات بیشترین میزان تریگونلین در غلظت $0/21\%$ درصد کیتوزان مشاهده شد (شکل شماره ۸).



شکل شماره ۶- روند تغییر میزان تریگونلین جوانه دوازده روزه شبیله در شرایط عدم تنش خشکی تحت تأثیر تیمار کیتوزان



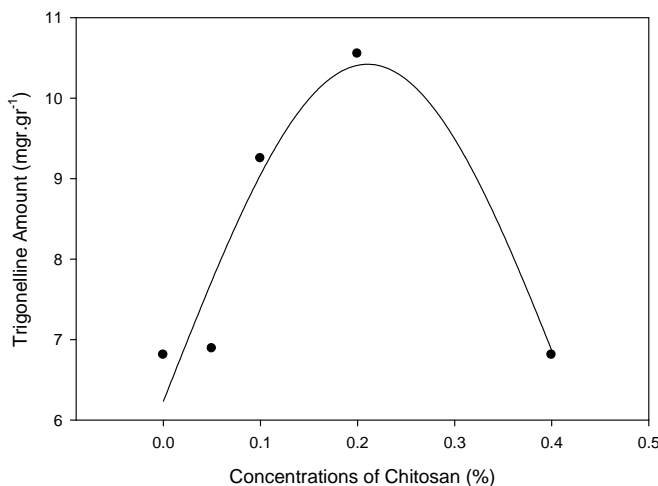
شکل شماره ۷- روند تغییر میزان تریگونلین در شرایط تنش $0/2\text{-مگاپاسکال}$ در جوانه دوازده روزه شبیله روز تحت تأثیر تیمار کیتوزان

میزان تریگونلین جوانه دوازده روزه شبیله

تجزیه واریانس میزان تریگونلین جوانه دوازده روزه شبیله نشان داد که اثر کیتوزان، تنش خشکی و اثر متقابل کیتوزان و تنش خشکی در سطح یک درصد بر صفت مذکور معنی‌دار بود (جدول شماره ۲). برش‌دهی اثر متقابل مشخص نمود که در هر سه سطح تیمار خشکی، غلظت‌های مختلف کیتوزان تأثیر متفاوتی بر تریگونلین گیاهچه‌های شبیله داشته‌اند (جدول شماره ۳).

تجزیه رگرسیون میزان تریگونلین در تیمار عدم تنش خشکی نشان داد که غلظت‌های مختلف کیتوزان با معادله گوسن چهار پارامتری بهترین برآذش را داشتند و بیشترین میزان





شکل شماره ۸- روند تغییر میزان تریگونولین جوانه دوازده روزه شبیله در شرایط تنش ۰/۴- مگاپاسکال تحت تأثیر تیمار کیتوزان

متقل و مانند دیگر ترکیبات در طی جوانهزنی ذخیره می‌شود. بنابراین تریگونولین به عنوان شکل ذخیره‌ای اسیدنیکوتینیک در جوانهزنی عمل می‌کند. تریگونولین اثری روی رشد گیاهچه‌ها ندارد اما اسیدنیکوتینیک و نیکوتین آمید نقش مهمی در بازدارندگی رشد ریشه دارند. پس یکی از دلایل سنتز تریگونولین در گیاهچه‌های ماش، کاهش مقدار زیاد اسیدنیکوتینیک و نیکوتین آمیدی است که از چرخه NAD در سلول‌ها رها شده است [۲۷]. نتایج این تحقیق نشان داد که تنش خشکی میزان تریگونولین را در گیاهچه شبیله افزایش می‌دهد و استفاده از محرك زیستی کیتوزان تا ۰/۲ درصد موجب افزایش میزان تریگونولین شده است. همچنین مشخص شد که با افزایش تنش خشکی میزان بهینه کیتوزان نیز افزایش یافته است. در گیاهان، تریگونولین به عنوان یک متابولیت دفاعی در واکنش به کمبود آب افزایش می‌یابد و نتیجه آن کاهش تعداد گره‌ها و عملکرد است. در آزمایشی نشان داده شد که تنش خشکی در گیاه بادام زمینی سبب افزایش غلظت تریگونولین در ژنوتیپ‌های مختلف بادام زمینی در آبیاری کم در مقایسه با شرایط آبیاری کامل شده است [۲۸]. مهدوی و همکاران (۲۰۱۳) نتیجه گرفتند که پیش تیمار بذرهای گلرنگ با غلظت‌های داشته و با تأثیر بر سیستم دفاع آنتی‌اسیدانی گیاه سبب افزایش مقاومت گیاهچه‌های گلرنگ به

بحث

نتایج این بررسی نشان داد که با گذشت زمان میزان تریگونولین گیاهچه شبیله کاهش یافت و بیشترین میزان این متابولیت ثانویه در مراحل اولیه جوانهزنی بود. البته با اعمال تنش خشکی و مقدار بهینه کیتوزان کاهش میزان تریگونولین با گذشت زمان به حداقل رسید. زنگ و همکاران (۲۰۰۴) گزارش نمودند که در هنگام جوانهزنی به دلیل مصرف تریگونولین مقدار آن در بذر کاهش می‌یابد [۲۴]. در گزارش دیگر [۲۵] بالاترین میزان تریگونولین در طی روزهای آغازی بعد از جوانهزنی مشاهده شد که با نتایج به دست آمده در این آزمایش همخوانی دارد. شیمیزو و مزافرا (۲۰۰۰) در تحقیقی، تغییر در مقدار تریگونولین بذر قهوه را در مراحل ابتدایی جوانهزنی بررسی کردند و نتیجه گرفتند که در طی جوانهزنی، تریگونولین ایاشته شده در بذرها به اسید نیکوتینیک تبدیل شده و برای ساخت NAD استفاده می‌شود. بنابراین، تریگونولین به عنوان مخزن اسید نیکوتینیک در گیاهان عمل می‌کند. بخشی از اسید نیکوتینیک تشکیل شده از تریگونولین در مراحل بعدی تبدیل به دیگر متابولیت‌ها می‌شود [۲۶]. اما زنگ و همکاران (۲۰۰۵) گزارش کردند که در مراحل اولیه جوانهزنی ماش، فعالیت آنزیم تریگونولین سنتاز در محور جنبی افزایش و در لپه‌ها کاهش می‌یابد. در نتیجه تریگونولین لپه‌ها به محور جنبی



جوانهزنی شنبلیله دارد [۵].

نتیجه‌گیری

نتایج این آزمایش نشان داد که میزان تریگونولین پس از جوانهزنی با گذشت زمان کاهش می‌یابد و می‌توان با اعمال تنش خشکی و استفاده از محرك زیستی کیتوزان این روند نزولی میزان تریگونولین را کاهش داد. به هر حال از آنجایی که بذر شنبلیله به عنوان درمان کمکی برای بیماران دیابتی نوع دوم کاربرد دارد می‌توان با تحقیقات بیشتر از جوانه شنبلیله در اصلاح رژیم غذایی این بیماران استفاده نمود.

تنش کم آبی شده است [۲۹].

در این آزمایش، معادلات پلی‌نومیال (درجه دو) و پیک (گوسین سه و چهار پارامتری و لرنزین)، اثر کیتوزان بر میزان تریگونولین را تحت تنش خشکی در روزهای مختلف با بیشترین دقیقت برآورد کردند. آزمایشات زیادی بر مدل‌سازی جوانهزنی گیاهان مختلف در تنش خشکی انجام نشده است. اسلامپور و همکاران (۲۰۱۴) بهترین مدل برای برآش جوانهزنی گلرنگ تحت تنش خشکی را ویبول اعلام کردند [۳۰]. همچنین بستامی و همکاران (۲۰۱۴) از مدل‌های هیدروتایم براساس داده‌های تجمعی جوانهزنی بر روی بذر گلرنگ استفاده کردند [۳۱]. مهرآفرین و همکاران (۲۰۱۱) در مطالعه‌ای گزارش کردند مدل گامپرتنز برآش مناسبی برای تخمین درصد

منابع

1. Avicenna A. Ghanoon dar Teb. Soroush Press. 1988, pp: 244 - 251.
2. Salehi Sormaghi M. Medicinal plants and herbal therapy. Donyaye taghzieh press. Vol. 1. 2007, 406.
3. Seghat Aleslami M J and Ahmadi Bonakdar K. The Effect of Sowing Date and Plant Density on Yield and Yield Components of Fenugreek (*Trigonella foenum-gracum* L.). *Bimonthly Iranian Journal of Medicinal and Aromatic Plants* 2010; 2 (2 (48)): 265-74.
4. Bernath J. Wild and cultivated medicinal plants. Budapest: Mezo Publication. 1993.
5. Mehrafarin A, Naghdibad H, Noormohammadi G, Zand E, Rezazadeh S and Qaderi A. Effects of environmental factors and methanol on germination and emergence of Persian Fenugreek (*Trigonella foenum-graecum* L.). *African Journal of Agricultural Research* 2011; 6 (19): 4631-4641.
6. Pasko P, Barton H, Zagrodzki P, Gorinstein S, Fołta M and Zachwieja Z. Anhocyianins, total polyphenols and antioxidant activity in amaranth and quinoa seeds and sprouts during their growth. *Food Chemistry* 2009; 115: 994-8.
7. Dueñas M, Hernández T, Estrella I and Fernández D. Germination as a process to increase the polyphenol content and antioxidant activity of lupin seeds (*Lupinus angustifolius* L.). *Food Chem.* 2009; 117: 599-607.
8. Hung PV, Hatcher DW and Barker W. Phenolic acid composition of sprouted wheats by ultra-performance liquid chromatography (UPLC) and their antioxidant activities. *Food Chem.* 2011; 126: 1896-901.
9. Martinez-Villaluenga C, Peñas E, Ciska E, Piskula M K, Kozlowska H and VidalValverde C. Time dependence of bioactive compounds and antioxidant capacity during germination of different cultivars of broccoli and radish seeds. *Food Chem.* 2010; 120: 710-6.
10. Oloyo R A. Chemical and nutritional quality changes in germinating seeds of *Cajanus cajan* L. *Food Chem.* 2004; 85: 497-502.
11. Zieliński H, Frias J, Piskula MK, Kozlowska



- H and Vidal-Valverde C. Vitamin B₁and B, dietary fiber and minerals content of Cruciferae sprouts. *European Food Research and Technology* 2005; 221: 78-83.
- 12.** Cevallos-Casals BA and Cisneros-Zevallos L. Impact of germination on phenolic content and antioxidant activity of 13 edible seed species. *Food Chem.* 2010; 119: 1485-90.
- 13.** Rahimian Mashhadi H, Bagheri A and Paryab A. The potential effects of the polyethylene glycol and sodium chloride with temperature on germination of wheat in dryland stand. *Journal of Agricultural Sciences and Technol.* 1991; 5: 36-45.
- 14.** Petropoulos S A, Dimitra D, Polissiou MG and Passam HC. The effect of water deficit stress on the growth, yield and composition of essential oils of parsley. *Scientia Horticulturae* 2008; 115: 393-7.
- 15.** Mohammadi M, Qualitative and quantitative performance evaluation of fenugreek (*Trigonella foenum-graecum* L.) stimulite under the influence of biological, chemical fertilizers and drought, in Department of Agronomy. Shahed University Faculty of Agriculture. 2011, 146.
- 16.** No H K, N Y P, S H L and P M S. Antibacterial activity of chitosans and chitosan oligomers with different molecular weights. *Int. Food Microbiol.* 2002; 74: 65-72.
- 17.** Wei S, Zang X M, Xue J P and G X. Effect of chitosan on seeds germination and seedling physiological property of wheat. Periodicals. *Core Journals Biology Journal* 2007; 24 (2): 51-53.
- 18.** Winter Y, House Q P, Xiu-juan W, Zhi-Meng Z and You-rong S. Effect of chitosan on physiological activities in germinating seed and seedling leaves of maize. Periodicals Hebei Vocational and Technical Teachers College Journal, 2001; 15 (4): 9-12.
- 19.** Winter Y, House Q P, Zhi-Meng Z, Xiujuan W and Xiao-jun H. Germinating seed of peanut effects of chitosan on some physiological activity in germinating seed of peanut. *Core Journals Journal of Peanut Science* 2002; 31 (1): 22-25.
- 20.** Hirano S. The activation of plant cells and their self-defence function against pathogens in connection with chitosan. *Nippon Nogeikagaku Kaishi* 1988; 62: 293-5.
- 21.** Lee YS, Kang CS and Lee YS. Effects of chitosan on production and rot control of soybean sprouts. *Korean Journal of Crop Science* 1999; 44: 368-72.
- 22.** Kim HJ. Characterization of bioactive compounds in essential oils, fermented anchovy sauce, and edible plants, and, induction of phytochemicals from edible plants using methyl jasmonate (MeJA) and chitosan. Clemson University: USA. 2005, 356.
- 23.** Sahari Moghadam A, Mehrafarin A and Naghdi Badi H. Changes of Trigonelline, Nicotinic Acid and Proline Content in Early Growth Stages of *Trigonella foenum-graecum* L. under Saline Condition. *Journal of Medicinal Plants* 2016; 15 (57): 47-55.
- 24.** Zheng XQ and Ashihara H. Distribution, biosynthesis and function of purine and pyridine alkaloids in Coffea Arabica seedlings. *Plant Sci.* 2004; 166: 807-13.
- 25.** Martinez- Villaluenga C, Kuo Y-H, Lambein F, Frias J and Vidal- Valverde H. Kinetics of free protein amino acids, free non-protein amino acids and trigonelline in soybean (*Glycin max* L.) and lupin (*Lupinus angustifolius* L.) sprouts. *Eur. Food Res. Technol.* 2006; 224: 177-86.
- 26.** Shimizu MM and Mazzafera P. A role for trigonelline during imbibition and germination of coffee seeds. *Plant Biol.* 2000; 2: 605-11.
- 27.** Zheng X, Hayashibe E and Ashihara H. Changes in trigonelline (N-methylnicotinic acid) content and nicotinic acid metabolism during germination of mungbean (*Phaseolus aureus*) seeds. *J. Experimental Botany* 2005; 56 (416): 1615-23.
- 28.** Cho Y, Kodjoe E, Puppala N and Wood A J. Reduced trigonelline accumulation due to rhizobial activity improves grain yield in peanut (*Arachis*



hypogaea L.). *Acta Agriculturae Scandinavica, Section B - Soil & Plant Science* 2011; 61 (5): 395-403.

- 29.** Mahdavi B, Modarres Sanavy S A M, Aghaalikhani M and Sharifi M. Effect of chitosan on safflower (*Carthamus tinctorius* L.) Seed Germination and antioxidant enzymes activity under water stress. *Journal of Plant Researches (Iranian Journal of Biology)* 2013; 26 (3): 325-65.
- 30.** Eslamipour F, Gharine D, Fathi Q F and

Derakhshan A, Modeling hydrotime germination of seeds of safflower (*Carthamus tinctorius*), in 1st International & 13th National Iranian Crop Science Congress. 2014.

- 31.** Bastami M and Majidian M, Evaluation of salinity on seed germination and seedling growth Coriander (*Coriandrum sativum*) L., in 1st International & 13th National Iranian Crop Science Congress. 2014.



Quantitative Changes of Trigonelline Metabolite in Fenugreek (*Trigonella foenum-gracum* L.) Sprouts under Chitosan and Water Stress Induction

Ahadi P (M.Sc.)¹, Naghdi Badi H (Ph.D.)², Labbafi M.R (Ph.D.)^{2*}

1- Department of Horticulture Science, Karaj branch, Islamic Azad University, Karaj, Iran

2- Medicinal Plants Research Center, Institute of Medicinal Plants, ACECR, Karaj, Iran

*Corresponding author: Institute of Medicinal Plants, ACECR, Karaj, Iran

Tel: +98-26-34764010-9, Fax: +98-26-34764021

Email: Mohammad1700@yahoo.com

Abstract

Background: Application of bio-stimulants is one of solutions to quantitative and qualitative changes in metabolites of medicinal plants sprouts.

Objective: The aim of this study is to investigate the effect of chitosan bio-stimulation on trigonelline content of sprout under water stress.

Methods: This study was conducted in three separate factorial experiments (three times of 4, 8 and 12 days after planting) based on completely randomized design with 15 treatment in 3 replications. The treatments were chitosan in five levels (0, 0.05%, 0.1%, 0.2% and 0.4%) and water stress in 3 levels (control without stress treatment, -0.2 and 0.4 Mpa).

Results: The result of variance analysis showed that chitosan, under stress and interaction effect of chitosan and water stress had significant effect on trigonelline content of 4, 8 and 12-day sprout. The trigonelline content decreased during the experiment in a way that the highest content of that was observed at the first days of seed germination.

Conclusion: By induction of water stress and application of chitosan with optimum amount (to 0.2%) decrease in trigonelline content attained to the lowest trend during the experiment.

Keywords: *Trigonella foenum-gracum* L., Bio-stimulant, Environmental stress, Modeling, Sprout

